

東京技術コンサルタント 正員 久母 仰
大阪工業大学 正員 因村宏一
大阪市立大学 正員 園田憲一郎

1. 考え方: 未知量を境界上のみに運ぶ境界積分法は、有限要素法や差分法のような領域型の解法に比べ、方程式の数を大幅に減らしうる長所を有している。この長所は、3次元問題でより顕著になり、また、領域型の解法では不適当な無限領域を含む問題の解析にも適している。集中力を受ける3次元体の解析解として、無限体の場合のKelvin解、および半無限体の場合のMindlin解¹⁾よく知られており、また、これらは基礎式で与えられるため積分法の基本解として利用される。ところが、積分法の基本解として、解析領域の境界条件を一部分でも満足しているものを用いるならば、境界上での条件を課す範囲をさらに縮めることによって、解析精度の向上もはかられ、より望ましいものとなろう。たとえば、図-1(a)のような厚板の問題の場合は、Kelvin解よりも、すでに表面荷重を含む1つの境界面の条件を満足しているMindlin解を用いる方が便利である。また、図-1(b)のような角棒の場合には、さらに多くの境界面を満足する解を用いることが好ましい。ニセコでは、Kelvin解、Mindlin解に応じて解析解の種類と、これらの解を基本解として用いた場合の計算例について報告する。

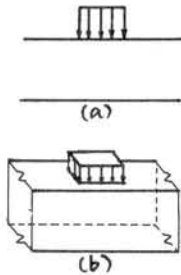


図-1

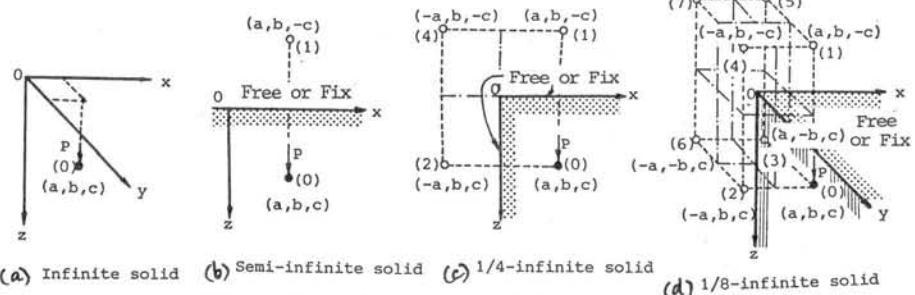


図-2 内部に集中力を受ける無限体

2. 基本解として用いられる種々な解釈解: 著者は、表-1に示す3次元弾性の基礎式を用い、図-2に示す4種類の無限体の解析解を系統的に求めた。²⁾ニセコに、表-1の各Typeは、図-3に示す3つのTypeの境界面を持つ3次元体に対応して適応されるものである。集中力が作用する無限体の解は、力の作用点で特異点を有し無限遠で零となるが、表-1の基礎式では、その最も簡単な解は、Type Iの場合次のようにならわれる。

Type	Function	Fundamental Equation	Displacement
I	$\Phi = \epsilon$	$\Delta^2 \Phi = 0$	$u = - \iint \left[\frac{(\lambda+2G)}{G} \frac{\partial \Phi}{\partial x} \frac{\partial \Phi}{\partial x} + \frac{\partial \Phi}{\partial x} \frac{\partial \Phi}{\partial y} \right] dz dx$
	$\psi = \frac{\partial w}{\partial z}$	$\Delta^2 \psi + \frac{\lambda+G}{G} \frac{\partial^2 \psi}{\partial z^2} = 0$	$v = - \iint \left[\frac{(\lambda+2G)}{G} \frac{\partial \Phi}{\partial y} \frac{\partial \Phi}{\partial y} - \frac{\partial \Phi}{\partial x} \frac{\partial \Phi}{\partial z} \right] dz dx$
II	$\Omega = \frac{\partial u}{\partial y} - \frac{\partial v}{\partial x}$	$\Delta^2 \Omega = 0$	$w = \int \psi dz$
	$\Phi = \epsilon$	$\Delta^2 \Phi = 0$	$u = \int \bar{\psi} dx$
	$\bar{\psi} = \frac{\partial u}{\partial x}$	$\Delta^2 \bar{\psi} + \frac{\lambda+G}{G} \frac{\partial^2 \bar{\psi}}{\partial x^2} = 0$	$v = - \iint \left[\frac{(\lambda+2G)}{G} \frac{\partial \Phi}{\partial y} \frac{\partial \Phi}{\partial y} - \frac{\partial \Phi}{\partial x} \frac{\partial \Phi}{\partial z} \right] dx dy$
III	$\bar{\Omega} = \frac{\partial v}{\partial z} - \frac{\partial w}{\partial y}$	$\Delta^2 \bar{\Omega} = 0$	$w = - \iint \left[\frac{(\lambda+2G)}{G} \frac{\partial \Phi}{\partial x} \frac{\partial \Phi}{\partial x} - \frac{\partial \Phi}{\partial y} \frac{\partial \Phi}{\partial z} \right] dy dx$
	$\Phi = \epsilon$	$\Delta^2 \Phi = 0$	$u = - \iint \left[\frac{(\lambda+2G)}{G} \frac{\partial \Phi}{\partial x} \frac{\partial \Phi}{\partial x} + \frac{\partial \Phi}{\partial x} \frac{\partial \Phi}{\partial z} \right] dy dx$
	$\bar{\psi} = \frac{\partial v}{\partial y}$	$\Delta^2 \bar{\psi} + \frac{\lambda+G}{G} \frac{\partial^2 \bar{\psi}}{\partial y^2} = 0$	$v = \int \bar{\psi} dy$

Type	Function	Fundamental Equation	Displacement
I	$\Phi = \epsilon$	$\Delta^2 \Phi = 0$	$u = - \iint \left[\frac{(\lambda+2G)}{G} \frac{\partial \Phi}{\partial x} \frac{\partial \Phi}{\partial x} + \frac{\partial \Phi}{\partial x} \frac{\partial \Phi}{\partial y} \right] dz dx$
	$\psi = \frac{\partial w}{\partial z}$	$\Delta^2 \psi + \frac{\lambda+G}{G} \frac{\partial^2 \psi}{\partial z^2} = 0$	$v = - \iint \left[\frac{(\lambda+2G)}{G} \frac{\partial \Phi}{\partial y} \frac{\partial \Phi}{\partial y} - \frac{\partial \Phi}{\partial x} \frac{\partial \Phi}{\partial z} \right] dz dx$
	$\Omega = \frac{\partial u}{\partial y} - \frac{\partial v}{\partial x}$	$\Delta^2 \Omega = 0$	$w = \int \psi dz$
II	$\Phi = \epsilon$	$\Delta^2 \Phi = 0$	$u = \int \bar{\psi} dx$
	$\bar{\psi} = \frac{\partial u}{\partial x}$	$\Delta^2 \bar{\psi} + \frac{\lambda+G}{G} \frac{\partial^2 \bar{\psi}}{\partial x^2} = 0$	$v = - \iint \left[\frac{(\lambda+2G)}{G} \frac{\partial \Phi}{\partial y} \frac{\partial \Phi}{\partial y} - \frac{\partial \Phi}{\partial x} \frac{\partial \Phi}{\partial z} \right] dx dy$
	$\bar{\Omega} = \frac{\partial v}{\partial z} - \frac{\partial w}{\partial y}$	$\Delta^2 \bar{\Omega} = 0$	$w = - \iint \left[\frac{(\lambda+2G)}{G} \frac{\partial \Phi}{\partial x} \frac{\partial \Phi}{\partial x} - \frac{\partial \Phi}{\partial y} \frac{\partial \Phi}{\partial z} \right] dy dx$
III	$\Phi = \epsilon$	$\Delta^2 \Phi = 0$	$u = - \iint \left[\frac{(\lambda+2G)}{G} \frac{\partial \Phi}{\partial x} \frac{\partial \Phi}{\partial x} + \frac{\partial \Phi}{\partial x} \frac{\partial \Phi}{\partial z} \right] dy dx$
	$\bar{\psi} = \frac{\partial v}{\partial y}$	$\Delta^2 \bar{\psi} + \frac{\lambda+G}{G} \frac{\partial^2 \bar{\psi}}{\partial y^2} = 0$	$v = \int \bar{\psi} dy$
	$\bar{\Omega} = \frac{\partial w}{\partial z} - \frac{\partial u}{\partial y}$	$\Delta^2 \bar{\Omega} = 0$	$w = - \iint \left[\frac{(\lambda+2G)}{G} \frac{\partial \Phi}{\partial x} \frac{\partial \Phi}{\partial x} - \frac{\partial \Phi}{\partial y} \frac{\partial \Phi}{\partial z} \right] dy dx$

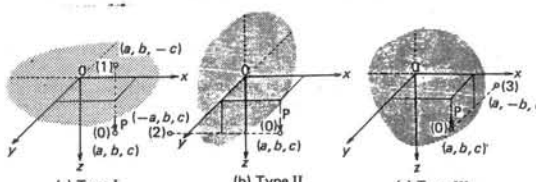


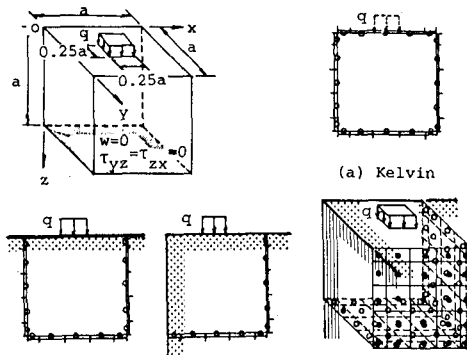
図-3 境界面のTypeと境界条件式

$$\Phi = \frac{A}{r}, \quad \psi = \frac{B}{r} - \frac{\lambda + G}{2G} A \frac{\partial^2 r}{\partial z^2}, \quad \Omega = \frac{C}{r} \quad (1)$$

ここで、 A, B, C は積分定数、 $\Gamma^2 = (x-x_0)^2 + (y-y_0)^2 + (z-z_0)^2$ で、 (x_0, y_0, z_0) は特異点を示す。

図-2(a), (b)の場合、周知の Kelvin 解、および Mindlin 解で与えられるが、表-1 および式(1)を区別した型の解で容易に導くことができる。1つの境界面を持つ Mindlin 解は、荷重点(0) 1=k Kelvin 解を与える、境界条件を満足させるため、点(0)の境界面に対する鏡像点(1) (実領域外)に該種類の無限体のひずみ核を重ね合せて得られる。¹⁾ 図-2(c) は、さらに直交する境界面を有する 1/4-無限体の場合であるが、同図-2(b)の Mindlin 解を基礎解とするならば、点(0), (1) のもう 1 つの境界面($z=0$)に対する鏡像点(2), (4) (実領域外)に、表-1, Type II から求まる該種類のひずみ核を重ね合せて、図-3 Type II に示した境界条件を満足させることにより解が得られる。同様な手法を進めると、図-2(c)に示す 3 つの境界面を持つ 1/4-無限体の解も求めることができる。すなはち、点(0), (1), (2), (4) の $z=0$ の面上に対する鏡像点(3), (5), (6), (7) (実領域外)に、表-1 の Type III で与えられる該種類のひずみ核を重ね合せることになる。なお、このようにして得られた解は、1/4 の型の特異性を持つひずみ解の微分形で与えられ、半無限体の解はもちろん、1/4-, 1/8-無限体の解も Kelvin 解と同じように、境界積分法の基本解として利用できる。

3. 計算例： 2 で示した半無限体の解を基本解として、荷重を受けた矩形盤を境界積分法によって解析した。図-4 は、各基本解を用いた場合の上半分の境界要素の分割メッシュを示したもので、表面の自由境界、および下面の対象条件は各要素の中心にとった遠点において満足される。なお、要素解としては、各分割メッシュ上に単位力を積分した解を用いた。表-2 には、基本解の種類と連立方程式の元数の関係を示した。図-5 ～ 7 は、解析結果を示したものであるが、Kelvin 解によるものを除いて、ほぼ一致した結果となり、境界面の条件、特に荷重を含む面の条件を一部でも満足するよう基本解を用いることにより、解析精度を向上しうるといふべきである。謂廣時には、他の結果もあるが、図-4



Example problem and mesh division

	n	Number of unknowns(n) in simultaneous linear equation
Kelvin	450	
1/2-solid	375	
1/4-	300	
1/8-	225	

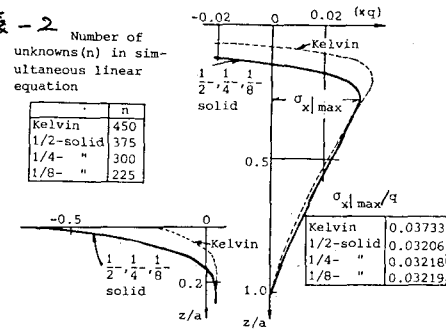


図-5 Variations of $\sigma_x|_{x=y=0.5a}$

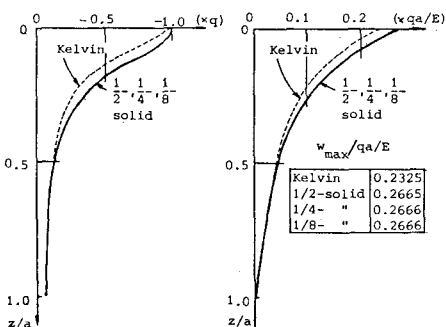


図-6 Variations of $\sigma_z|_{x=y=0.5a}$

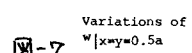


図-7 Variations of $w|_{x=y=0.5a}$

1) Mindlin, R.D.: Force at a point in the interior of a semi-infinite solid, Physics, Vol.7 (1936).

2) 岡村, 島田: 3 次元弾性問題の一数值解法とその应用, 土木学会論文報告集, No.199 (1972).

3) 島田, 岡村: 厚いスラブの応力と変形, 土木学会論文報告集, No.233 (1975).

4) Shimada, I., Okamura, H. and Sonoda, K.: Elastic solution of a 1/4- or 1/8-infinite solid with a force at a point in its interior, Memoirs of Engr., Osaka City University, Vol.22 (1981).

5) Shimada, I., Okamura, H., and Sonoda, K.: Some kinds of fundamental solutions applicable to Boundary Element Methods for three dimensional elastic problems, An International Conference on FEM, Shanghai, China (1982).